DOI:10.13870/j.cnki.stbcxb.2025.05.012

CSTR: 32310.14.stbcxb.2025.05.012

罗舒玉,何玲,林哲,等.桂东南崩岗侵蚀区崩壁龛穴的形态及空间分布特征[J].水土保持学报,2025,39(5)

LUO Shuyu, HE Ling, LIN Zhe, et al. Morphological and spatial distribution characteristics of niches in collapsing walls in southeastern GuangXi benggang erosion area[J]. Journal of Soil and Water Conservation, 2025, 39(5)

桂东南崩岗侵蚀区崩壁龛穴的形态及空间分布特征

罗舒玉1, 何玲1, 林哲1, 王建羽1, 段晓倩2, 邓羽松1

(1.广西大学林学院,南宁 530004; 2.广西大学农学院,南宁 530004)

摘 要:[目的] 崩壁龛穴的形成与发育加剧崩岗溯源侵蚀,威胁土地资源与生态环境。[方法] 通过调查典型崩岗侵蚀区龛穴的空间分布与形态特征,探明其分布规律和演化过程。[结果] 1)龛穴主要赋存于崩壁下部,占 45.83%,90.28% 发育在砂土层,角度以 30°~50°为主(50.69%)。2)龛穴形态参数变异性强,90.97%的龛穴扁率>0.1,主要表现为椭圆形与极椭圆形,70.80%的龛穴长深比与短深比同步>1,22.20%的长深比>1且短深比<1,反映其平面形态以垂向延展为主,演化阶段受水平拓宽影响。3)龛穴长轴、短轴与内凹深度三者之间呈极显著正相关(p<0.01),且长深比与短深比可相互间接影响,共同驱动龛穴的形态发育。[结论] 研究结果揭示崩壁龛穴的发育特点及空间分布特征,为崩岗侵蚀防治提供理论依据。

关键词: 龛穴; 空间分布; 形态特征; 崩岗侵蚀

中图分类号:S157.1

文献标识码:A

Morphological and Spatial Distribution Characteristics of Niches in Collapsing Walls in Southeastern Guangxi Benggang Erosion Area

LUO Shuyu¹, HE Ling¹, LIN Zhe¹, WANG Jianyu¹, DUAN Xiaoqian², DENG Yusong¹

(1.College of Forestry, Guangxi University, Nanning 530004, China; 2.College of Agriculture, Guangxi University, Nanning 530004, China)

Abstract: [Objective] The formation and development of niches in collapsing walls intensify the erosion of Benggang and threaten land resources and the ecological environment. [Methods] The spatial distribution and morphological characteristics of niches in typical Benggang erosion areas were investigated to explore their distribution patterns and evolutionary process. [Results] 1) Niches were mainly found in the lower part of collapsing walls, accounting for 45.83%, with 90.28% developed in the sandy layer, and the angles mainly ranged from 30° to 50° (50.69%). 2) Niches showed strong variability in morphological parameters, with 90.97% of the niches having a flattening ratio greater than 0.1, primarily presenting as elliptical and extremely elliptical. 70.80% of the niches had both length-to-depth and short-to-depth ratios greater than 1, and 22.20% had a length-to-depth ratio greater than 1 and a short-to-depth ratio less than 1, reflecting that their plane morphology primarily extended vertically, and their evolutionary stage was influenced by horizontal expansion. 3) There was a highly significant positive correlation among the long axis, short axis and concavity depth of the niche (p < 0.01), and the length-to-depth ratio and the short-to-depth ratio could indirectly influence each other and jointly drive the morphological development of the niche. [Conclusion] The study reveals the developmental characteristics and spatial distribution of niches in collapsing walls, providing a theoretical basis for the prevention and control of Benggang erosion.

Keywords: niches; spatial distribution; morphological characteristics; Benggang erosion

Received: 2024-12-30 **Revised**: 2025-02-28 **Accepted**: 2025-03-17

收稿日期:2024-12-30

修回日期:2025-02-28

录用日期:2025-03-17

资助项目:国家自然科学基金项目(42477350,42467041,42107350)

第一作者:罗舒玉(2000—),女,硕士研究生,主要从事土壤侵蚀与水土保持研究。E-mail: shuyuLuosy@163.com

通信作者:邓羽松(1988—),男,副教授,博士生导师,主要从事土壤侵蚀与水土保持研究。Email: denny2018@gxu.edu.cn

崩岗指在重力和水力共同作用下,山坡土体受 破坏而发生崩塌和冲刷的侵蚀现象[1],属于南方红壤 区一种特殊的土壤侵蚀类型[2]。崩壁是崩岗的核心 组成单元, 龛穴是崩壁上内凹形成的特殊地貌[3]。 龛 穴发育影响崩壁力学稳定性,触发其上部土体崩塌, 进而导致崩壁失稳并逐渐后退,驱动溯源侵蚀过程, 扩大崩岗侵蚀范围,引起严重的水土流失[4-5]。目前, 崩岗研究主要集中在其形成机制、物质组成、演化过 程及防治技术等方面[1,6],而对龛穴引发的侵蚀现象 关注较少。有研究[3]表明, 龛穴演化分为雏形、发育 和形成3个关键阶段,各阶段形态和空间分布特征存 在差异,对崩岗侵蚀的危害程度也不同。沟蚀地区 普遍存在类似的特殊"龛穴"侵蚀现象[7],常形成于沟 头陡壁或边坡,其发育导致沟头崩塌,诱发溯源侵 蚀[8-10]。国内如黄土高原地下水的潜蚀和地表径流 的冲刷共同作用形成的"潜蚀洞"[11-12]、元谋干热河谷 的水涮窝[13-16]、东北黑土区沟头处的内凹洞[17]等;国 外如巴西的"退化壁龛"[18]、美国爱荷华州的"壁 龛"[19]及新西兰的"渗蚀空洞"等[20]。"龛穴"发育是沟 头溯源侵蚀的重要环节,其形态演化决定侵蚀过程。 针对不同发育阶段实施防治措施,是减少沟头溯源 侵蚀危害的关键[10,13,21]。现有研究主要通过类似地 貌的周长、面积及扁率等参数进行统计分析[13-14,22], 缺乏对空间位置和形态参数间的耦合关系解析,且 相关研究多集中在干热河谷和黄土高原地区,南方 红壤崩岗侵蚀区龛穴形态的研究关注较少。因此, 开展龛穴空间分布与形态特征的定量研究,分析其 形态演化和侵蚀方向,可为龛穴发育引发的崩岗侵 蚀机理提供科学依据,对南方红壤丘陵区水土流失 治理具有重要意义。

广西是我国崩岗侵蚀分布的典型区域,共有崩岗 27 767个,崩岗侵蚀模数极高,达3 000 0~5 000 0 t/(km²·a),是南方丘陵山区容许土壤流失量的60~100倍,龛穴广泛赋存于崩壁,对生态环境和水土资源造成极大破坏^[23-24]。深入研究龛穴的空间分布及形态特征,解析其演化阶段和侵蚀特点,有助于深化对崩岗侵蚀的理解。因此,本研究以广西梧州市龙圩区花岗岩崩岗侵蚀区为对象,分析龛穴的形态特征、活动状态及空间分布规律,探讨形态参数间的相互关系及其对发育的影响,以期深化对龛穴发育机制的认识,为崩岗侵蚀防治提供理论依据。

1 材料与方法

1.1 研究区概况

本研究区位于广西梧州市龙圩区(22°58′10″~

23°27′24″N,110°06′42″~111°22′52″E)(图 1),属亚热带季风气候区,年平均气温 21.2 $^{\circ}$ C,年无霜期 323 d,年平均降水量 1 506.9 mm,气候温和,四季分明,雨量充沛,光照充足,无霜期长。龙圩区属低山丘陵地貌,海拔 400~600 m。总体地势呈南高北低倾斜状,山岭连绵,丘陵起伏,山谷相间。样区植被乔木以马尾松(Pinus massoniana)为主;灌木以桃金娘(Rhodomyrtus tomentosa)、岗松(Baeckea frutescens)、檵木(Loropetalum chinense)为主;禾本科植物主要为五节芒(Miscanthus floridulus)和箬竹(Indocalamus tessellatus)等;铁芒萁(Dicranopteris linearis)为主要的蕨类植物。



图 1 研究区概况

Fig. 1 Overview of the study area

1.2 试验方法

于2023年5-6月对样区典型崩岗的龛穴所赋 存崩壁位置及赋存形态进行调查。调查典型崩岗发 育的144个龛穴,崩岗的经纬度通过GPS测定。调查 内容为龛穴的空间位置、活动状态和形态参数。研 究将龛穴赋存的崩壁分为上部、中部、下部,其中上 部接近于沟头集水坡面处,中部为崩壁发育最为剧 烈的部分,下部为崩壁接近于崩积堆的部分。空间 分布主要调查发育土层、分布位置和距沟沿线距离。 龛穴调查的形态参数包括长轴(L)、短轴(W)、内凹 深度(D)(图2)和角度。长轴为龛穴上覆土体边缘至 下部土体边缘的距离;短轴为龛穴左侧土体边缘至 右侧土体边缘的距离;内凹深度为龛穴的垂直深度; 角度是龛穴内侧中心与龛穴外部顶点连接,与龛穴 内侧中心水平向外形成的角度。 龛穴角度为 0~20° 时定义为龛穴"雏形"状态; 龛穴角度为 20°~40°时定 义为龛穴"发育"状态;龛穴角度为>40°时定义为龛 穴"形成"状态。各指标均通过激光测距仪与卷尺 (0.01 cm)测量所得。

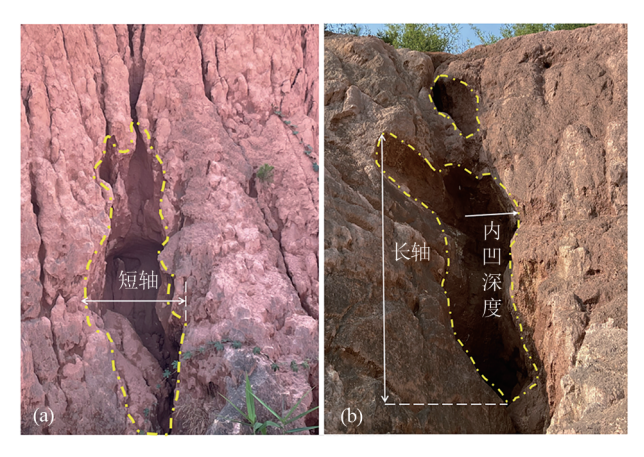


图 2 野外象穴长轴、短轴、内凹深度示意

Fig. 2 Diagram of long axis, short axis, and concavity depth of field niches

1.3 形态参数

1)选取长轴、短轴与内凹深度的长深比(length-to-depth ratio, LDR)、短深比(short-to-depth ratio, SDR)等衍生参数^[13]及龛穴扁率(α)^[12,22]表征龛穴的形态特征,其计算公式为:

$$LDR = \frac{L}{D} \tag{1}$$

$$SDR = \frac{W}{D} \tag{2}$$

$$\alpha = \frac{L - W}{W} \tag{3}$$

式中:LDR为长深比;SDR为短深比; α 为龛穴扁率;L为龛穴长轴,cm;W为龛穴短轴,cm;D为内凹深度,cm。

2)容积和横截面积是衡量龛穴平面和三维形态的重要指标。龛穴形态多样,相似地貌采用椭圆球计算容积^[16]和梯形计算横截面积^[9]。本研究借鉴利用基础指标计算最大容积(*V*)和最大横截面积(*A*)来定量评估龛穴形态。计算公式为:

$$A = \frac{L \times W}{10\,000} \tag{4}$$

$$V = \frac{L \times W \times D}{1\,000\,000} \tag{5}$$

式中:A为最大横截面积, m^2 ;V为最大容积, m^3 ;L为龛穴长轴,cm;W为龛穴短轴,cm;D为内凹深度,cm。

3)变异系数(coefficient of variation, CV)是衡量数据离散程度的一个重要统计量,其公式为:

$$CV = \frac{\sigma}{\prime\prime} \times 100\% \tag{6}$$

式中: σ 为数据的标准差; μ 为数据的平均值。变异系数的单位为百分比(%),能够消除量纲的影响,适用于不同单位或不同量纲的数据比较。当CV较高时,表示数据分布的离散性较强;反之CV值较低则表示数据较为集中。

4)偏度(skewness)和峰度(kurtosis)用来衡量数据分布形态的统计量。偏度衡量数据分布的对称性, 峰度衡量数据分布的尖锐程度,其计算公式分别为:

Skewness =
$$\frac{n}{(n-1)(n-2)} \sum_{i=1}^{n} \left(\frac{x_i - \mu}{\sigma}\right)^3$$
 (7)
Kurtosis = $\frac{n(n+1)}{(n-1)(n-2)(n-3)} \times \sum_{i=1}^{n} \left(\frac{x_i - \mu}{\sigma}\right)^4 - \frac{3(n-1)^2}{(n-2)(n-3)}$ (8)

式中:n为样本的个数; x_i 为第i个数据点; μ 为样本的平均值; σ 为样本的标准差。

1.4 数据处理

采用 Microsoft Excel 2020 对试验数据进行初步统计与计算,采用 SPSS 26.0 软件对数据进行描述性统计、通径分析,用 Pearson 相关系数法评价不同形态因子的相关关系。运用 Origin 2021 与 R 4.4.1 软件进行线性与非线性回归分析及图像绘制。

2 结果与分析

2.1 龛穴空间分布特征与发育状态

龛穴空间位置调查结果(图3)可知,龛穴主要赋存于崩壁的下半部分,占比为45.83%,其次是发育接近沟头处上部的的龛穴,占比为29.86%,发育在崩壁中部的占比最小,为24.31%。

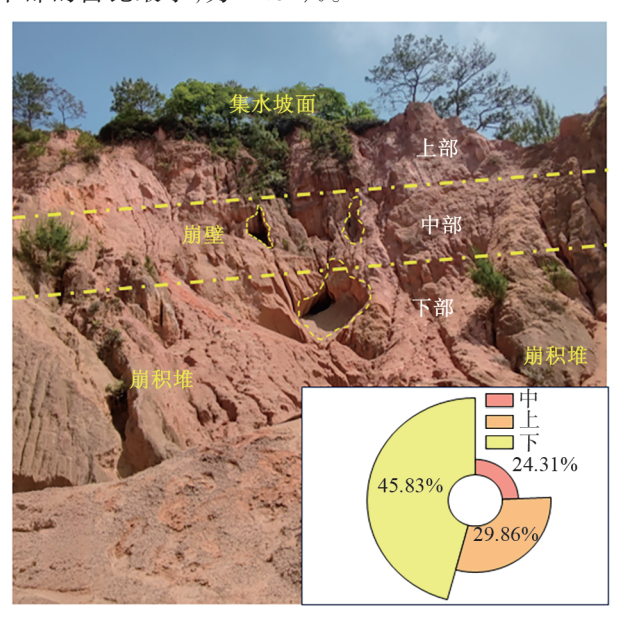


Fig. 3 Spatial distribution of niches

从图 4 可以看出, 龛穴角度的分布中, 龛穴"雏形"状态最少, 仅占 10.42%, 其中, "雏形"状态中, 龛穴角度为 0~10°的最少, 为 0.69%; 发育状态的龛穴占比最高, 为 50.69%, 其中以 30°~40°的龛穴角度最多, 为 19.15%。 龛穴的形成状态占比仅次发育状态, 为 38.89%, 野外龛穴角度以 30°~50°为主。

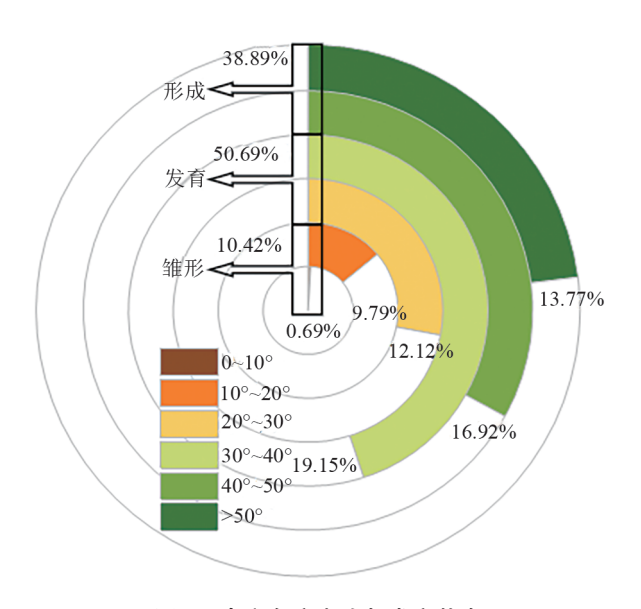


图 4 龛穴角度占比与发育状态

Fig. 4 Proportion of niche angles and developmental status

对龛穴在崩壁上的分布土层进行记录并统计个数(图 5)表明,砂土层发育龛穴数量最多,占总数量的90.28%;红土层、碎屑层及过渡层发育龛穴数量占总体9.72%,分别为5.55%、2.78%、1.39%。砂土层中处于发育状态的龛穴最多,占总数的63.89%,形成状态次之,为14.58%,雏形状态最少为11.81%。红土层中只有发育和雏形2种状态,占比分别为4.86%和0.69%。碎屑层中,只有形成状态的龛穴,占比2.78%,过渡层中只有雏形状态龛穴,占比1.39%。

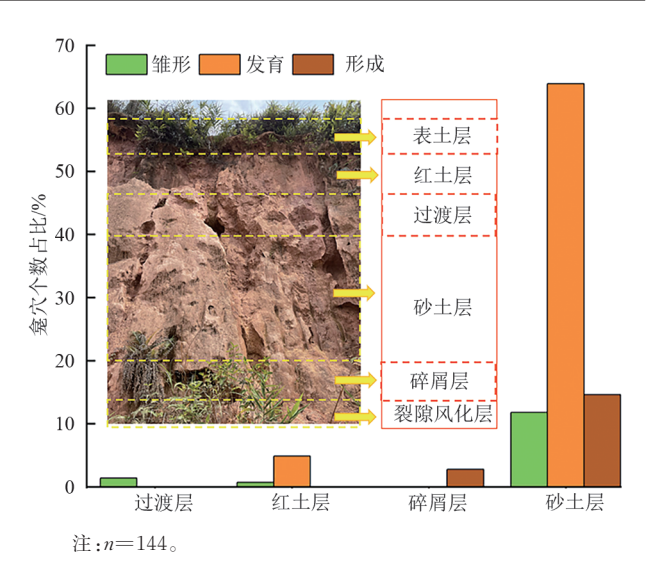


图 5 不同土层发育的龛穴个数占比及其发育状态

Fig. 5 Proportions of niches developed in different soil layers and their developmental status

2.2 龛穴形态发育特征

通常变异系数 $CV \le 0.1$ 、 $0.1 < CV \le 1.0$ 、CV > 1.0 分别表示弱变异、中等变异、高强变异 (12)。由表 1 可知,龛穴形态参数呈显著异质性。短轴 $(7.40 \sim 352.10$ cm,CV = 101.86%)、长轴 $(8.60 \sim 412.50$ cm,CV = 90.84%)及内凹深度 $(5.20 \sim 121.90$ cm,CV = 72.64%)均属中高强度变异,其中短轴偏度 (3.34) 与峰度 (13.10)表明其集中于较小值且分布尖锐,而龛穴角度 CV = 33.78% 的中等变异表明角度参数相对稳定。

表 1 龛穴形态参数描述性统计

Table 1 Descriptive statistics of niche morphological parameters

指标	极小值	极大值	平均值	方差	偏度	峰度	Cv/%
长轴(cm)	8.60	412.50	77.80	4 995.03	2.34	6.71	90.84
短轴(cm)	7.40	352.10	53.39	2 957.44	3.34	13.10	101.86
内凹深度(cm)	5.20	212.90	34.36	622.72	3.14	17.89	72.64
角度/(°)	9.46	69.50	36.72	153.74	0.19	-0.37	33.78
长深比	0.68	8.49	2.30	1.93	1.93	4.95	56.96
短深比	0.41	7.34	1.63	2.93	2.93	10.53	69.93
扁率	0.03	0.81	0.37	0.04	0.15	-0.84	54.05
最大横截面积(m²)	0.01	11.40	0.55	1.77	5.34	34.80	181.81
最大容积(m³)	0.001	17.76	0.48	3.14	7.54	66.62	368.75

注:n=144。

通过龛穴长深比、短深比、扁率可对龛穴水平与垂直方向的形态变化进行分析。长深比(CV=56.96%)、短深比(CV=69.93%)、扁率(CV=54.05%)呈中等强度变异,三者平均值分别为2.30、1.63、0.37,前2项的正偏分布显示数据倾向较小值;空间度量方面,最大横截面积(CV>100%)与最大容积(CV=368.75%)呈异质性,后者偏度7.54与峰度66.62的极端值反映显著的非均匀分布特征,表明龛

穴形态参数的显著差异。

意穴平面形态可依据扁率(α)进行定量分类定义其扁平程度: α =0时表征正圆形,0< α ≪0.1对应近圆形,0.1< α ≪0.5界定为椭圆形, α >0.5则判定为极椭圆形^[25]。随着扁率值增大,平面形态由圆心对称逐渐发展为轴向拉长的几何特征。龛穴扁率数据显示,扁率为 0~0.1、0.1~0.2、0.2~0.3、0.3~0.4、0.4~0.5,>0.5 占比依次为 9.03%、14.58、17.36%、16.67%、

5

19.44%、22.92%。 龛穴扁率分布具有显著结构特征, 最优势区间为椭圆形($0.1 \le \alpha \le 0.5$, 占比 68.05%), 目 其中高扁率段 $(0.4 \sim 0.5, 19.44\%)$ 与极椭圆形 $(\alpha >$ 0.5,22.92%)共同构成崩岗区主要形态类型。近圆形 龛穴 $(0 < \alpha \le 0.1)$ 仅占9.03%,而 $\alpha = 0$ 的正圆形个体在 调查中未调查到,崩岗区龛穴平面形态以垂向延展特 征为主,主要以椭圆和极椭圆存在,累计占比90.97%。

龛穴发育方向可通过基础指标形态的比率参数 解析。长深比表征象穴垂向侵蚀强度,该值升高,则 垂向侵蚀强度大于水平侵蚀,并与极椭圆形态发育呈 正向关联:短深比揭示平面展宽趋势,表征龛穴的水 平或侧向侵蚀[13]。本研究可通过2项比值的分析判定 侵蚀主轴方向。由图6可知,长深比处于1~3区间占 据主导地位 $(1\sim2)$ 为 41.67%, $2\sim3$ 为 34.03%), 短深 比则以 $1\sim2(54.17\%)$ 和 $0\sim1(26.39\%)$ 为主,而长深 比0~1仅占6.25%。因此,长深比普遍高于短深比, 龛穴垂向侵蚀发育强度显著超过侧向侵蚀。70.80% 的龛穴呈长深比与短深比同步>1,表明垂蚀-侧蚀复 合系统中垂向侵蚀为优势驱动力,其产生的平面扩张 效应构成龛穴演化主要模式;22.20%的长深比>1且 短深比<1反映向下延伸趋势。从侵蚀机制解析,双 比率均<1时(占比3.50%)表征水平侵蚀主导,双比 率均>1时表明垂向侵蚀,后者的高占比率(70.80%) 表明,崩岗发育遵循"垂向切入-侧壁扩张"的过程,不 断驱动上覆土体向完全崩塌阶段演进。

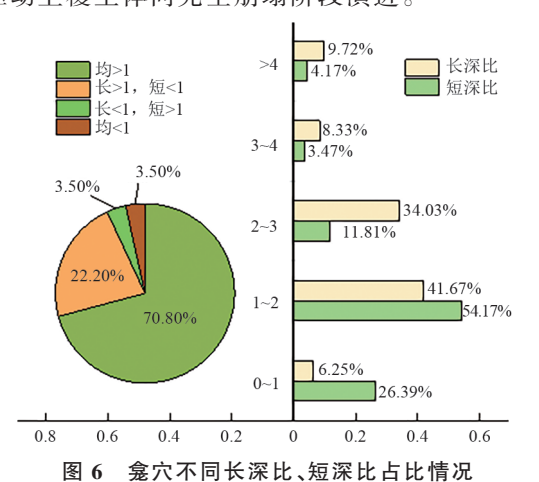
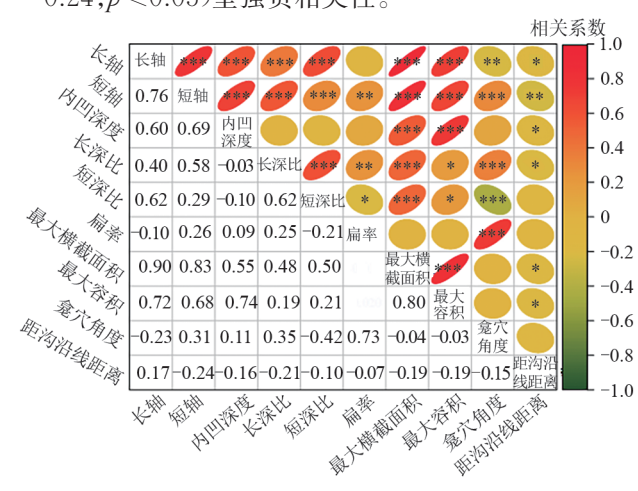


Fig. 6 Proportions of niches with different length-to-depth and short-to-depth ratios

2.3 龛穴形态参数相关性分析

龛穴形态参数相关性分析(图7)表明,长轴、短轴 与内凹深度间均呈显著正相关(r分别为0.60、0.69, p<0.001),表明三者演变具有协同效应和交互作用。 短轴、长轴与最大横截面积、最大容积均存在强烈正 相关(p < 0.001),短轴相关系数分别为 0.83、0.68,而 长轴相关系数分别为0.90、0.72。即随龛穴容量扩展,

龛穴平面形态由椭圆向极椭圆演化。短轴表现对多 种形态特征产生影响,其与内凹深度(r=0.69)、长深 比(r=0.58)、扁率(r=0.26)等参数的极显著正相关(p=0.58)<0.01),表明水平扩张同步加剧深度发育并改变形态 特征。短轴可导致扁率和龛穴角度上升。龛穴角度 与扁率呈高强度正相关(r=0.73, p<0.001),但与长 轴(r=-0.23)、短深比(r=-0.42)呈显著负相关,反 映垂向侵蚀减小角度而水平侵蚀增大角度。距沟沿 线的距离与各几何形态指标(长轴r=-0.17、短轴r=-0.24,p < 0.05) 呈强负相关性。



注:*表示($p \le 0.05$);**表示 $p \le 0.01$);***表示 $p \le 0.001$ 。 下同。

图 7 龛穴形态参数相关性分析

Fig. 7 Correlation analysis of niche morphological parameters

2.4 龛穴形态参数回归分析

龛穴内凹深度作为侵蚀发育阶段的形态基准, 通过角度的几何传导效应实现侵蚀动力与坡体稳定 性的双重表征机制[13]。由图8可知,长轴、短轴、最 大横截面积与内凹深度呈二次函数关系,且各自的 关系强度不同。在侵蚀初期,内凹深度与长轴、短 轴、最大容积的增加呈协同增长,当内凹深度超过约 30 cm 时,呈非线性正相关。短轴与内凹深度的关 系最为显著 $(R^2=0.500)$,表明短轴的增长速度最 大,是凹深增加的主要补偿途径。最大容积与内凹 深度的加速递增($R^2=0.320$),表明容积扩展与凹深 变化存在密切联系,而长轴和最大横截面积的变化 较为缓慢。同时,当内凹深度突破临界值时,短轴的 扩展速率与长轴拓展速率相当。

2.5 龛穴形态参数通径分析

基于多变量通径分析揭示龛穴最大横截面积、 最大容积与形态参数的相互作用机制(图9), 龛穴长 深比与短深比对最大横截面积的直接通径系数分别 为 0.280、0.326, 短深比和龛穴距沟沿线距离对最大 容积的直接通径系数分别为0.194、0.166,说明长轴、 短轴可直接影响横截面积大小,具有促进作用,短深比与龛穴距沟沿线的距离也可直接影响最大容积的大小,且短深比与龛穴距沟沿线的距离对最大容积的影响小于长、短轴对最大横截面积的影响。长深比对短深比的间接通径系数为0.201,短深比对长深比的间接通径系数为0.173,说明长深比与短深比可相互间接影响,从而对横截面积产生影响。长深比与短深比与横截面积呈极显著相关(p<0.01),相关

系数分别为0.481和0.499,说明二者对最大横截面积大小的影响相近。龛穴距沟沿线距离与最大横截面积呈显著负相关(p<0.05),相关系数为0.19,说明龛穴距沟沿线距离越大,其横截面积越小。长深比和短深比与龛穴最大容积呈显著正相关(p<0.05),相关系数分别为0.195和0.211,而龛穴距沟沿线距离与龛穴最大容积呈显著负相关(p<0.05),相关系数为0.185,说明龛穴距离沟沿线越远,其容积越小。

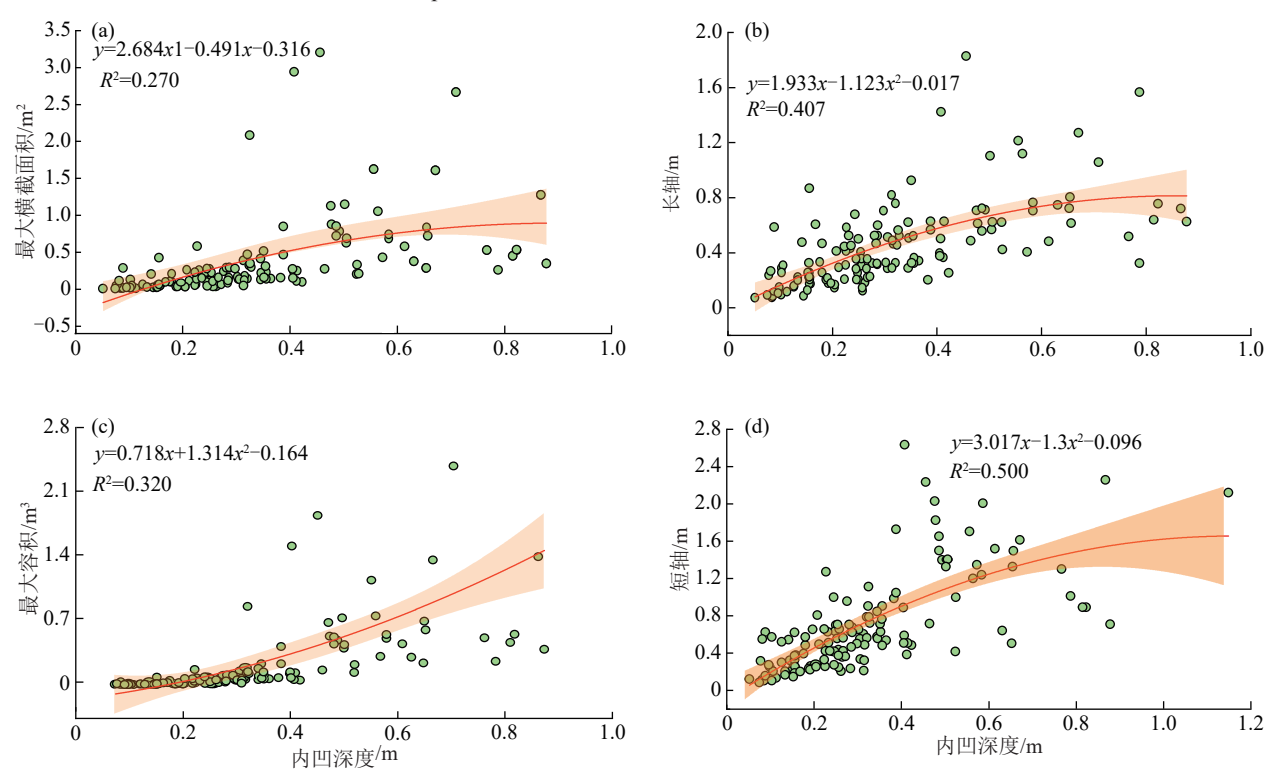


Fig. 8 Regression analysis of concavity depth and morphological parameters

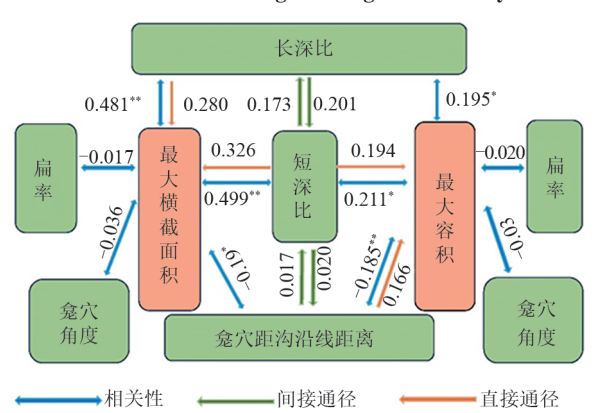


Fig. 9 Analysis of maximum cross-sectional area, maximum volume diameter of niche morphological parameters, and correlation analysis

3 讨论

崩岗侵蚀区龛穴主要赋存崩壁下部,大部分龛

穴主要源于砂土层。陷穴主要发育于沟道中上游及 支沟沟头,与黄土体较为均一的物质组成和其湿陷 性相关[12,26]。而崩岗崩壁土体构型呈上黏下砂[27],其 下部属于砂土层,土壤结构松散,孔隙度高,透水性 较强,对水流冲刷和重力崩塌较为敏感[28]。在强降 雨冲刷下,崩壁受集水坡面径流影响,下部土体因泥 沙流失下倾,其上部红土层具有较高的抗蚀能力[29], 导致上覆土体悬空,形成龛穴雏形。此阶段迅速过 渡,因此野外雏形龛穴占比最少(10.42%)。随着水 力与重力的持续作用,下部土体泥沙流失量不断增 加,该部位逐渐被掏蚀,形成较大的内凹浅洞穴,标 志着龛穴发育阶段的开始。调查结果显示,50.69% 龛穴属于该阶段,因此,在此阶段进行干预抑制龛穴 侵蚀具有重要作用。随着内凹洞穴扩张, 龛穴进入 形成阶段,内壁暴露加速崩壁侵蚀,流水和壤中流作 用使土体软化,促进崩塌,引发重力侵蚀[10],完成象 穴的发育-演化过程。 龛穴的侵蚀方向对其后续研究 至关重要。调查结果显示,短轴、长轴、内凹深度及其衍生参数呈高强度变异,最大横截面积与最大容积表现极端异质性,龛穴大小形态偏差较大。90.97%的龛穴主要表现为椭圆形与极椭圆形,二者构成崩岗区主要形态类型,其平面形态以垂轴延展为主。是由于龛穴赋存在崩壁上,受崩壁径流的冲刷作用,其垂直向下扩大龛穴或者垂直向上溯源至集水坡面,而水平方向的变化不显著,因此,垂直方向发育程度大于水平方向,促使其向椭圆形发育程度大于水平方向,促使其向椭圆形发育程度大于水平方向,促使其向椭圆形发育强度显著超过水平方向侵蚀。该研究结果与徐婷等[15]对干热河谷沟头陷穴发育的研究存在差异^[21],可归因于龛穴发育于崩壁,崩壁为高陡立状态,其崩塌主要受重力侵蚀^[32]。

龛穴长轴、短轴与内凹深度三者演变具有协同 效应和交互作用,与金珊等[12]对黄土地区切沟陷穴 的形态发育特征结果一致。长轴对龛穴最大容积和 最大横截面积的影响相较短轴更大,进一步说明龛 穴的侵蚀以垂轴侵蚀为主,与对龛穴扁率、长深比、 短深比的分析相一致。短轴对各形态参数均产生影 响,水平扩张同步加剧深度发育并改变形态特征,可 导致扁率、龛穴角度上升,水平侵蚀增大龛穴角度, 而长轴与之负相关,垂向侵蚀减小角度。因此,龛穴 的演化阶段受其横向拓宽影响,可能是垂向侵蚀属 于主要侵蚀方式,变化显著,当水平侵蚀导致横向拓 宽发生显著变化时,即表明龛穴发育向下一个阶段 演化。内凹深度是侵蚀发育阶段的形态基准,当内 凹深度超过30cm时,短轴与之非线性正相关,表明 横向扩展是凹深增加的主要形态补偿途径,与短轴 的相关性分析结果契合。当内凹深度突破临界值 时,短轴的扩展速率与长轴拓展速率相当,即此阶段 水平侵蚀主导形态发展,也是龛穴从上一阶段过渡 至下一阶段,使形态参数呈现与之前不同的增长速 度。龛穴的横截面积与容积可反映其平面和三维形 态,较大的横截面积和容积意味着龛穴侵蚀面积增 大,出现壤中流、出射流和贴壁流的概率增多[33]。 龛 穴的最大横截面积与最大容积的多变量通径分析表 明,长深比和短深比对龛穴最大横截面积有显著的 直接影响,长深比和短深比也直接影响龛穴最大容 积,但影响程度小于其对横截面积的影响。说明长 深比、短深比可表示龛穴的平面发育形状。

4 结论

1)崩壁龛穴以雏形-发育-形成过程演化,具有特殊的地貌特征。 龛穴雏形阶段在野外占比为10.42%,发育阶段占50.69%,形成阶段占38.89%。

龛穴在崩壁上、中、下部分布的比例为 29.86%、24.31%、45.83%,以下部为主要发育部位,90.28%的象穴赋存于砂土层。

2) 龛穴大小差异较大,90.97% 的龛穴主要表现 为椭圆形和极椭圆形。龛穴平面形态以垂轴延展为 主,而演化阶段受水平拓宽影响。

3)长轴、短轴与内凹深度对龛穴发育存在不同程度的直接/间接促进效应,三者演变存在协同效应,交互作用明显;长轴与短轴改变水平侵蚀模式,内凹深度决定龛穴发育上限。未来研究可关注崩壁龛穴演化的内在机制,辨析关键驱动因素,精准防控龛穴引发的崩岗侵蚀。

参考文献:

- [1] 廖义善, 唐常源, 袁再健, 等. 南方红壤区崩岗侵蚀及其防治研究进展[J]. 土壤学报, 2018, 55(6):1297-1312.

 LIAO Y S, TANG C Y, YUAN Z J, et al. Research progress on benggang erosion and its prevention measure in red soil region of southern China[J]. Acta Pedologica Sinica, 2018, 55(6):1297-1312.
- [2] 程冬兵,张晶鑫,郭飞,等.南方崩岗调查内容与方法探讨[J].中国水利,2024(6):68-72. CHENG DB, ZHANG JX, GUO F, et al. Discussion on the content and method of investigation of collapse in southern China[J].China Water Resources,2024(6):68-72.
- [3] 何玲,邓羽松.南方崩岗侵蚀区崩壁龛穴发育特征与稳定性初探[J].水土保持学报,2023,37(3):60-65.

 HE L, DENG Y S. Preliminary study of the development and stability of niches in collapsing wall in benggang erosion areas of southern China [J]. Journal of Soil and Water Conservation, 2023, 37(3):60-65.
- [4] GAO Y H, LIU C X, ZOU Z Q, et al. Effects of sediment yield fluctuations on the niche-like ephemeral gully formation in granite red soil[J].Catena,2022,219:e106624.
- [5] 马鹏飞,许文年,夏栋,等.基于龛深及其上覆土层稳定性的崩壁崩坍形成条件研究[J].水土保持通报,2019,39(5):316-328.
 - MA P F, XUWN, XIAD, et al. A study on formation conditions of collapse for collapsed walls in consideration of stability of red clay weathering soil layers and depth of concave cavities [J]. Bulletin of Soil and Water Conservation, 2019, 39(5):316-328.
- [6] JIANG F S, CHEN P S, ZHANG L T, et al. Modeling the sediment transport capacity of rill flow using a soilrock mixture on steep slopes [J]. Journal of Hydrology: Regional Studies, 2023, 49:e101512.
- [7] LIN Z, LIAO D L, HE L, et al. The study on morphological evolution process of gully headcut erosion in granite red soil hilly area based on an *in situ* scouring experi-

- ment[J].Geomorphology, 2023, 441:e108900.
- [8] COLLISON A J C. The cycle of instability: Stress release and fissure flow as controls on gully head retreat[J]. Hydrological Processes, 2001, 15(1): 3-12.
- [9] 高钰淏,陈家宙,邹自强,等.龛沟是崩岗早期发育的形态标志[J].水土保持学报,2022,36(4):105-111. GAO Y H, CHEN J Z, ZOU Z Q, et al. Niche-like ephemeral gully if a morphological symbol of the early development of benggang [J]. Journal of Soil and Water Conservation, 2022, 36(4):105-111.
- [10] 任兵芳,丁树文,吴大国,等.鄂东南崩岗崩壁溯源侵蚀特征研究[J].人民长江,2015,46(7):76-79. REN F B, DING S W, WU D G, et al. Study of headward erosion characteristics of collapsed downland in granite region in southeast Hubei Province [J]. Yangtze River,2015,46(7):76-79.
- [11] 郑炜珊, 耿豪鹏, 顾国强,等.定西于家山黄土洞穴的分布特征与侵蚀临界研究[J]. 水土保持学报,2020,34 (4):112-117.

 ZHENG W S, GENG H P, GU G Q, et al. The study of the distribution characteristics and erosion threshold of loess cave at Yujia Mountain in Dingxi[J]. Journal of Soil and Water Conservation, 2020, 34(4):112-117.
- [12] 金珊,贾玉华,郭成久,等.陕北黄土区切沟内陷穴发育特征研究[J].土壤通报,2017,48(4):948-954.

 JIN S, JIA Y H, GUO C J, et al. Development characteristics of sink holes in gullies on the northern Loess Plateau [J].Chinese Journal of Soil Science, 2017,48(4):948-954.
- [13] DENG Q C, QIN F C, ZHANG B, et al. Characterizing the morphology of gully cross-sections based on PCA: A case of Yuanmou dry-hot valley [J]. Geomorphology, 2015, 228:703-713.
- [14] ZHANG B J, ZHAO X, DONG Y F, et al. Morphological characteristics and influencing factors of gully headwall scour holes in Yuanmou Dry-hot Valley region, southwestern China[J].Catena, 2025, 249:e108721.
- [15] 徐婷,杨丹,舒成强,等.干热河谷陷穴形态特征及成因分析[J].干旱区资源与环境,2023,37(2):142-149. XUT, YANG D, SHUCQ, et al. Analysis of morphological characteristics and causes of the sink holes in dryhot valley[J]. Journal of Arid Land Resources and Environment,2023,37(2):142-149.
- [16] PENG JB, SUN P, IGWE O, et al. Loess caves, a special kind of geo-hazard on Loess Plateau, northwestern China[J]. Engineering Geology, 2018, 236:79-88.
- [17] QIJR, GUO MM, ZHOU PC, et al. Soil erosion resistance factors in different types of gully heads developed in four main land-uses in the mollisols region of northeast China[J]. Soil and Tillage Research, 2023, 230:e105697.
- [18] RÖMKENS M J M, PRASAD S N, GERITS J J P.

- Soil erosion modes of sealing soils: A phenomenological study[J]. Soil Technology, 1997, 11(1): 31-41.
- [19] BRADFORD J M, PIEST R F, SPOMER R G. Failure sequence of gully headwalls in western Iowa [J]. Soil Science Society of America Journal, 1978, 42(2): 323-328.
- [20] WANG C, CAI C F, DENG Y S. Tiny niche terrain induces gully headcut retreat[J]. Earth Surface Processes and Landforms, 2024, 49(7); 2260-2277.
- [21] 张宝军,熊东红,杨丹,等. 跌水高度对元谋干热河谷冲 沟沟头侵蚀产沙特征的影响初探[J]. 土壤学报,2017, 54(1):48-59.
 - ZHANG B J, XIONG D H, YANG D, et al. Preliminary study on effects of headcut height on soil erosion and sediment yield at gully heads in Yuanmou dry-hot vallgy region[J]. Acta Pedologica Sinica, 2017, 54(1):48-59.
- [22] 舒成强,张斌,蒋良群,等.元谋干热河谷强侵蚀区陷穴发育特征与演化过程[J].热带地理,2014,34(2):141-147. SHU C Q, ZHANG B, JIANG L Q, et al. Development characteristics and evolution process of the sink holes in Yuanmou dry-hot valley [J]. Tropical Geography,2014,34(2):141-147.
- [23] 谢福倩,梁志鑫,邓羽松,等.广西不同形态崩岗空间分布特征与治理措施研究[J].中国水土保持,2020(7):53-57. XIE F Q, LIANG Z X, DENG X S, et al. Spatial distrubution characteristics and control measures of different forms of collapsing slopes in Guangxi[J]. Soil and Water Conservation in China,2020(7):53-57.
- [24] 黄艳霞.广西崩岗侵蚀的现状、成因及治理模式[J].中国水土保持,2007(2):3-4.

 HUANG Y X. Present situation, causes and treatment mode of collapse erosion in Guangxi[J]. Soil and Water Conservation in China,2007(2):3-4.
- [25] 曹明达,周忠发,张结,等.贵州绥阳阴河洞洞穴壶穴的演化过程[J].地理学报,2016,71(11):2010-2019.
 CAO M D, ZHOU Z F, ZHANG J, et al. The evolution of the cavernous potholes in Yinhe Cave, Suiyang County, Guizhou Province[J]. Acta Geographica Sinica, 2016,71(11):2010-2019.
- [26] 李喜安,彭建兵,马润勇,等.黄土洞穴危害及其形成演化机制[J].西安科技大学学报,2009,29(6):737-741. LIXA, PENG JB, MARY, et al. On the hazards and evolution processes of loess tunnels[J].Journal of Xi'an University of Science and Technology,2009,29(6):737-741.
- [27] DUAN X Q, DENG Y S, LIU C X, et al. Influence of Benggang slope cracks on soil water regimes: Comparison of model simulation and time-domain reflectometry [J]. European Journal of Soil Science, 2022, 73(5):e13302.
- [28] DENG Y S, CAI C F, XIA D, et al. Soil Atterberg limits of different weathering profiles of the collapsing gullies in the hilly granitic region of Southern China[J]. Solid

- Earth, 2017, 8(2): 499-513.
- [29] 林金石,黄炎和,张旭斌,等.南方花岗岩区典型崩岗侵蚀产沙来源分析[J].水土保持学报,2012,26(3):53-57. LIN JS, HUANG YH, ZHANG XB, et al. Apportioning typical collapsing hill's erosion sediment sources of granite region in Southern China[J]. Journal of Soil and Water Conservation, 2012, 26(3):53-57.
- [30] 魏玉杰,吴新亮,蔡崇法.崩岗体剖面土壤收缩特性的空间变异性[J].农业机械学报,2015,46(6):153-159. WEI Y J, WU X L, CAI C F. Spatial variability of soil shrinkage characteristics in profile of slope disintegration body[J].Transactions of the Chinese Society for Agricultural Machinery,2015,46(6):153-159.
- [31] HE L, DENG Y S, TANG Q Y, et al. Effects of the Dicranopteris linearis root system and initial moisture content on the soil disintegration characteristics of gully erosion [J]. Journal of Mountain Science, 2022, 19 (12): 3548-3567.
- [32] CHEN A Q, ZHANG D, YAN B G, et al. Main types of soil mass failure and characteristics of their impact factors in the Yuanmou Valley, China [J]. Catena, 2015, 125:82-90.
- [33] LIAO D L, DENG Y S, DUAN X Q, et al. Variations in weathering characteristics of soil profiles and response of the Atterberg limits in the granite hilly area of south China[J].Catena, 2022, 215: e106325.